

TOSHIBA
Leading Innovation >>>

SCANNER CARDIAQUE DU FUTUR AU DELA DE LA LUMIERE



Les Progrès attendus....

FONCTIONNEL

CALCIUM / STENT

PRISE EN CHARGE

LE SCANNER VOLUMIQUE DYNAMIQUE

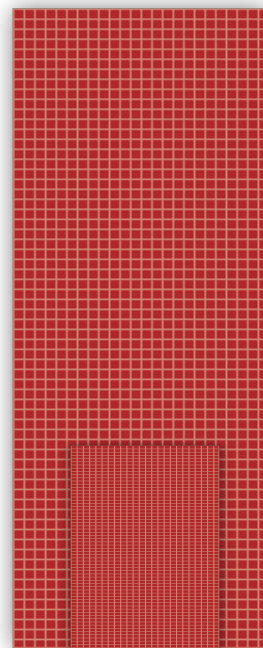


ONE
Aquilion

ONE
Aquilion
VISION EDITION

64 Rows

57,344 Elements



320 Rows

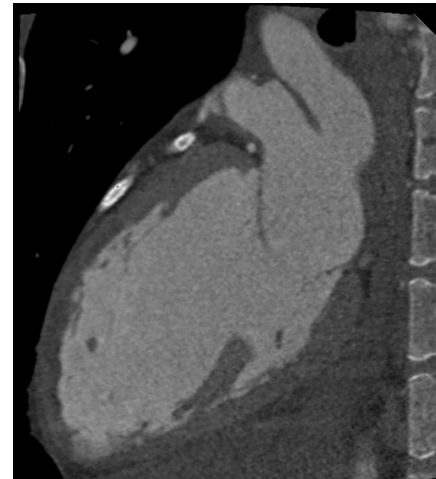
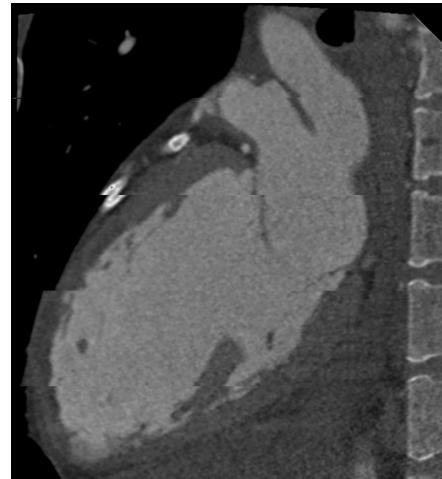
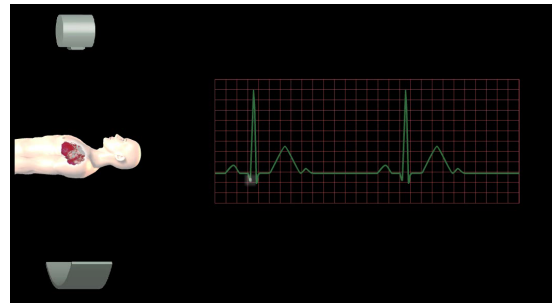
291,842 Elements



0.5mm x 320
16.0 cm!

Le scanner Volumique Isophasique

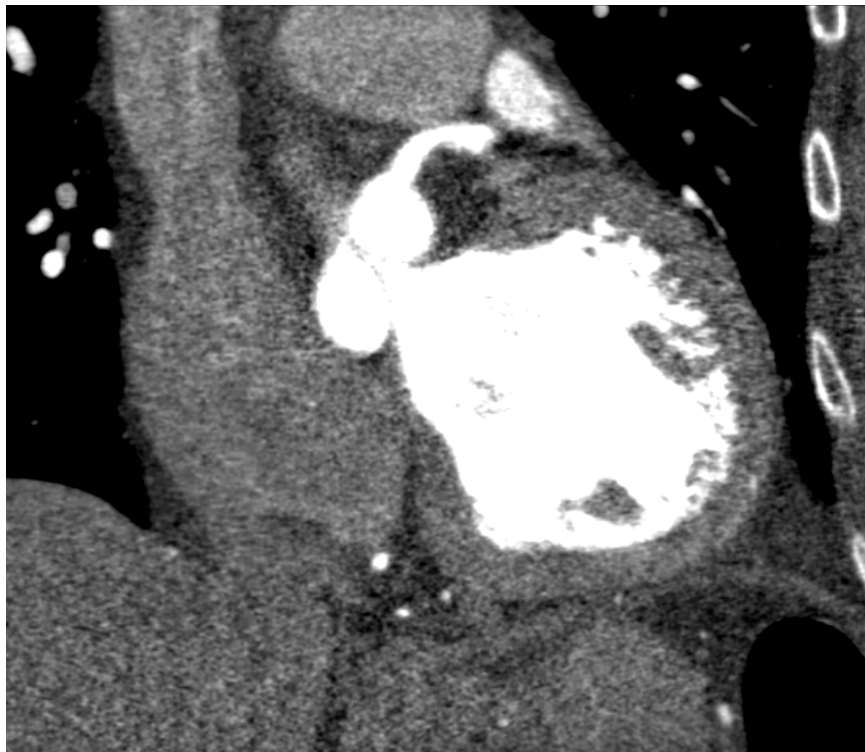
CONE
Aquilion



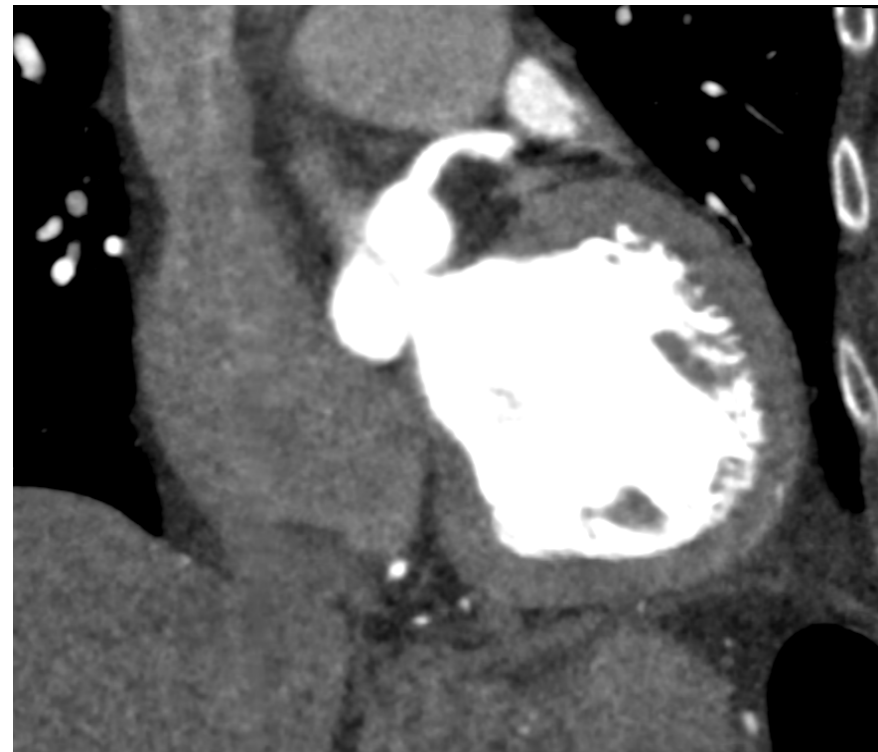
- » Résolution temporelle Volumique divisée par 5
- » Respiration libre sans artéfacts si nécessaire

Adaptive Iterative Dose Reduction

100KV DLP: 69,5 mGy.cm 0.97 mSv
Réduction du bruit de 75%



Without AIDR 3D

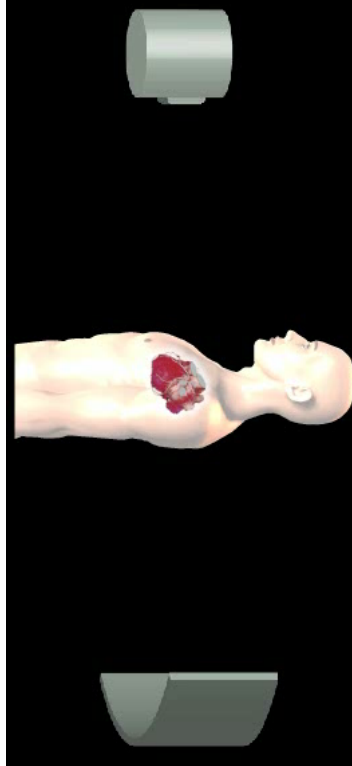


With AIDR 3D

Courtesy Monash Medical Center, Melbourne, Australia

Le scanner Volumique dynamique

Coronaires, dynamique des parois, fraction d'éjection et fonction cardiaque sur un seul battement en prospectif.



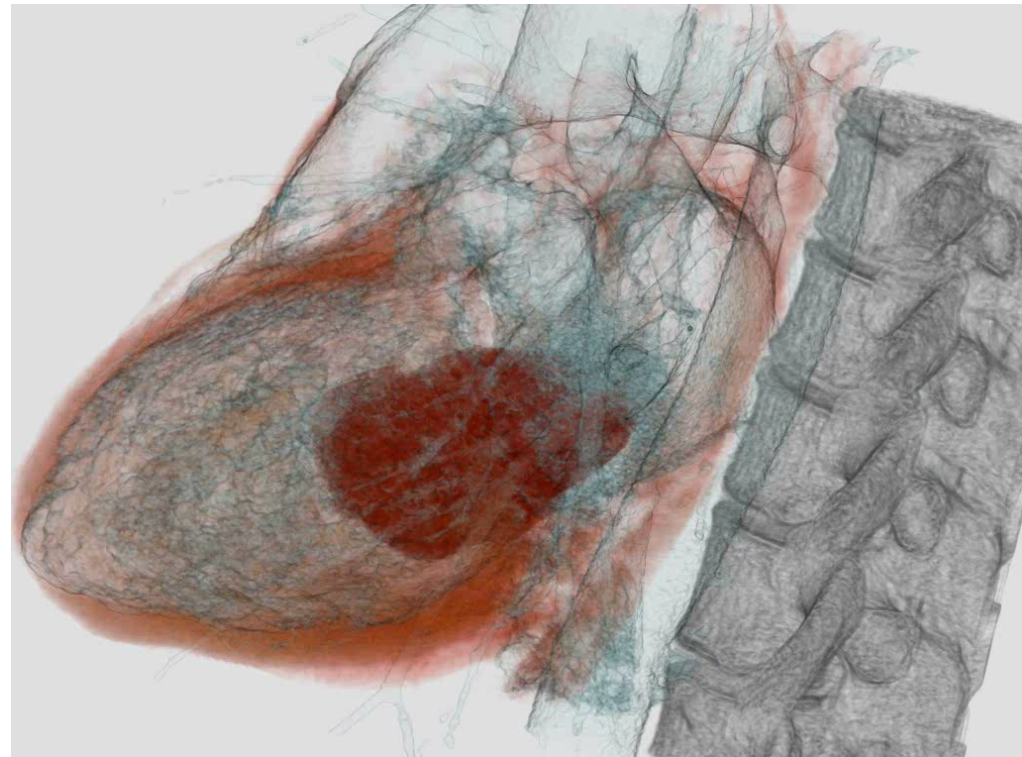
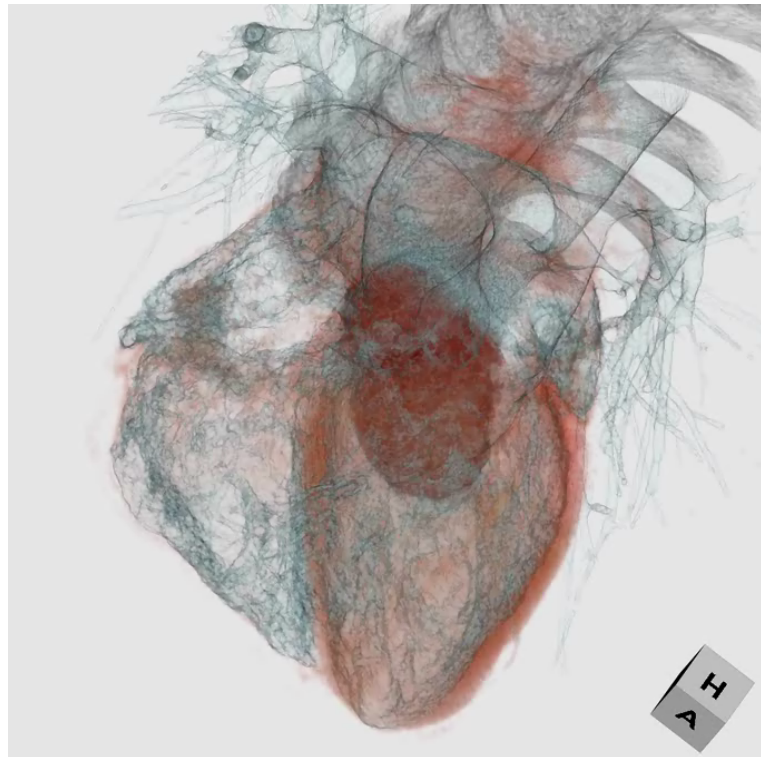
ECG Dose Modulation



Le scanner Volumique dynamique

One Beat CTA/CFA

Atrial Myxoma, 1,8 mSv



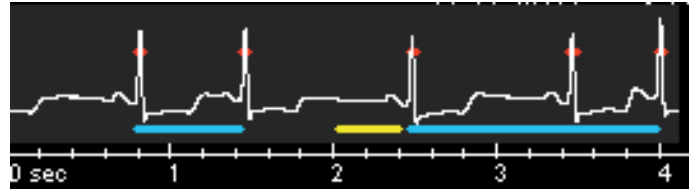
Le scanner Volumique dynamique

Détection des arythmies en temps réel

Automated for unstable or higher heart rates
ensuring diagnostic image quality.

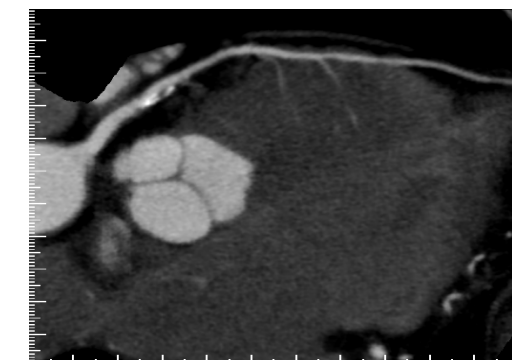
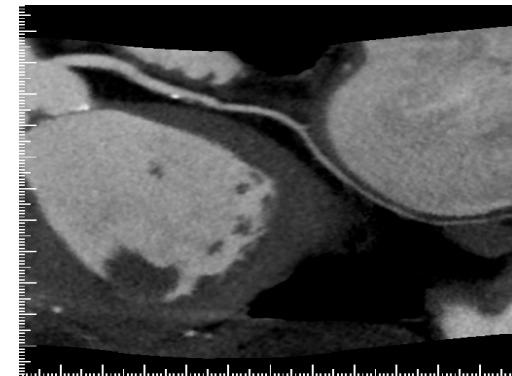
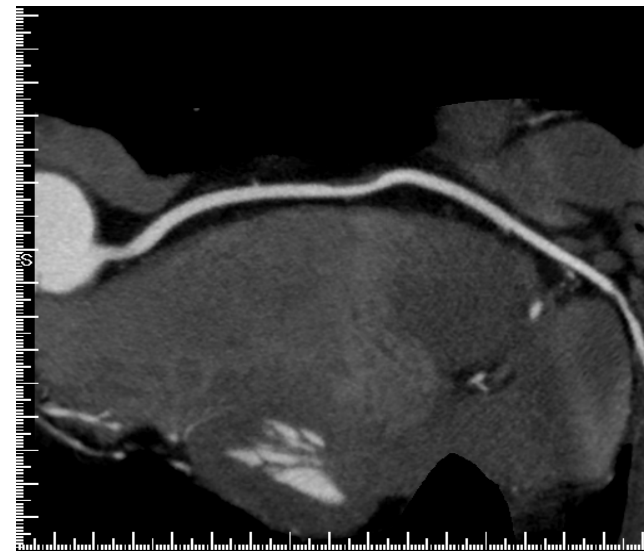
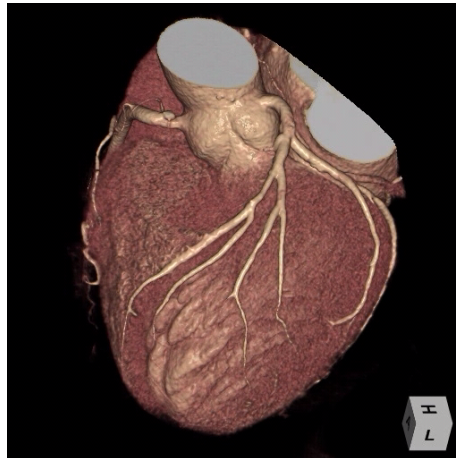


Le scanner Volumique dynamique



Arhythmia 59 – 111 bpm

CONE
Aquilion



ISOPHASIQUE

Densité du contraste homogène chaque niveau est acquis au même moment : TAG320



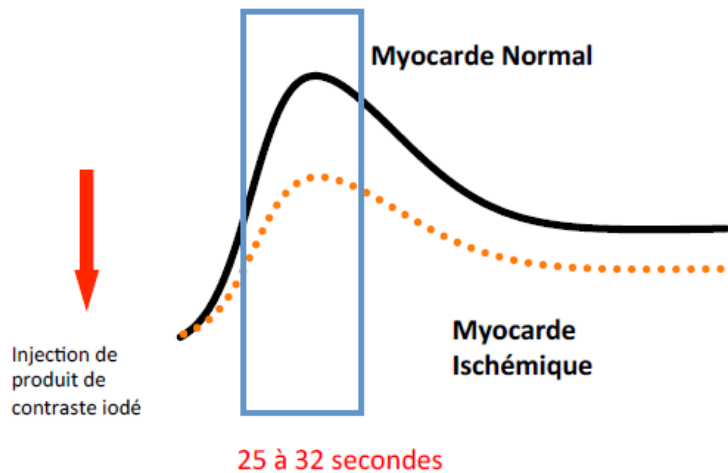
TOSHIBA
Leading Innovation >>>

Aquilion™
Myocardial Perfusion

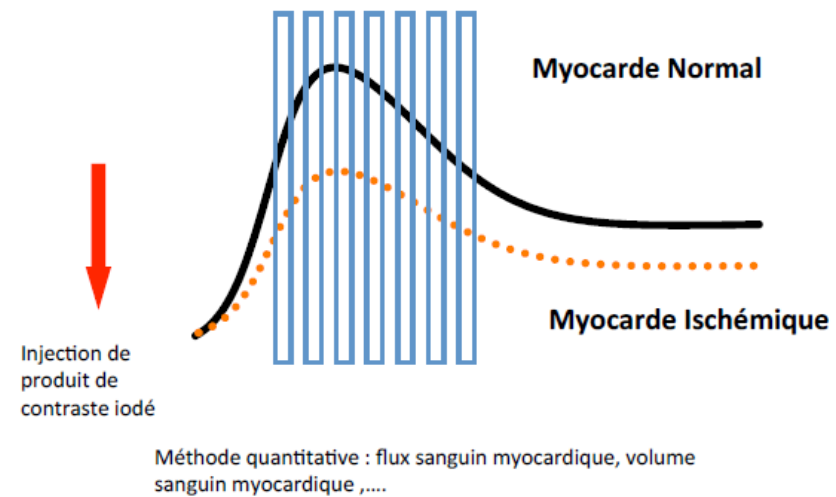
Made for Life

Correction des artéfacts

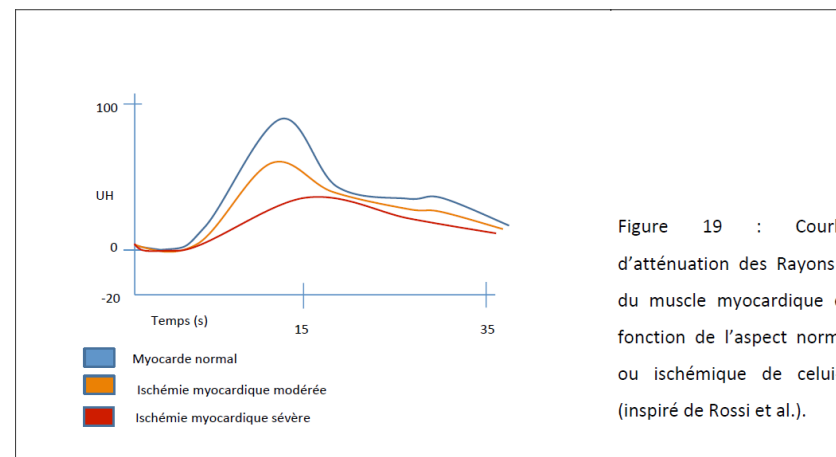
Imagerie classique au pic d'atténuation attendu



Imagerie de perfusion dynamique: échantillonnage du volume à différents instants post injection

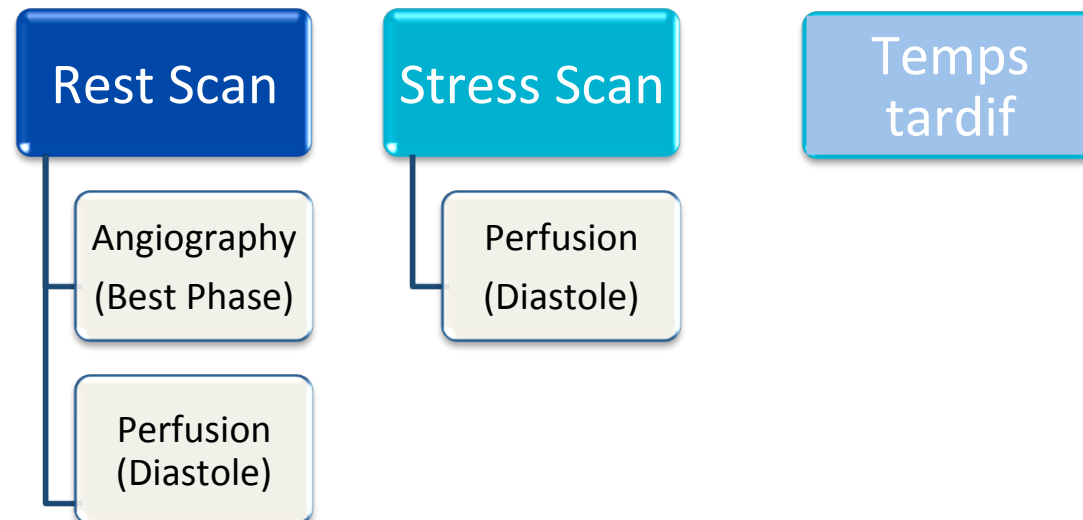


6



12

Le scanner Volumique Dynamique

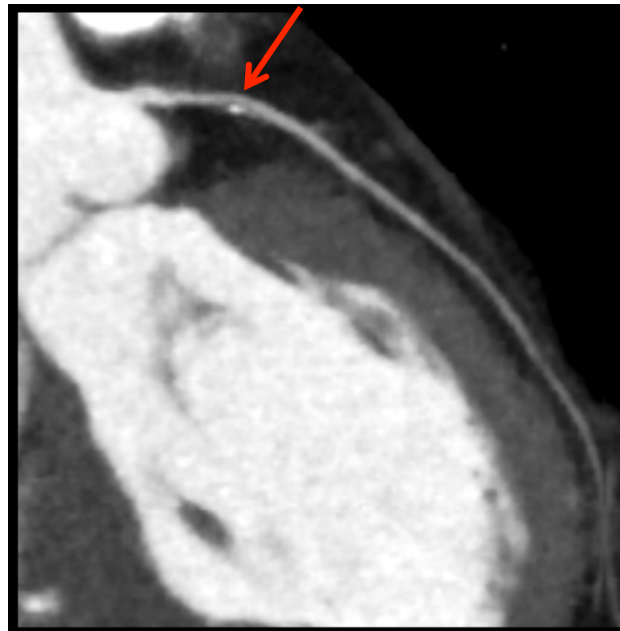


SCANNER D'EFFORT?

Le scanner Volumique Dynamique

- › 71 year old male
- › Atypical angina

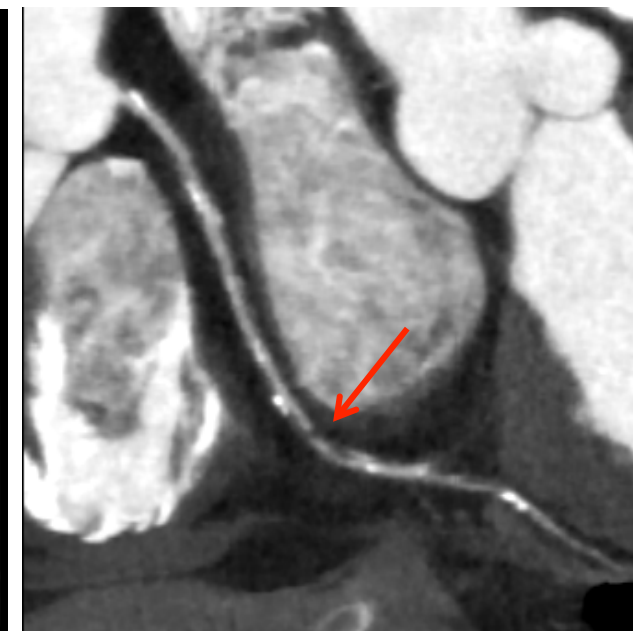
LAD



LCx

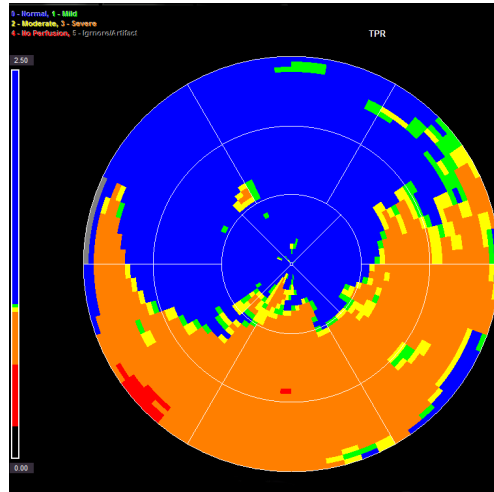
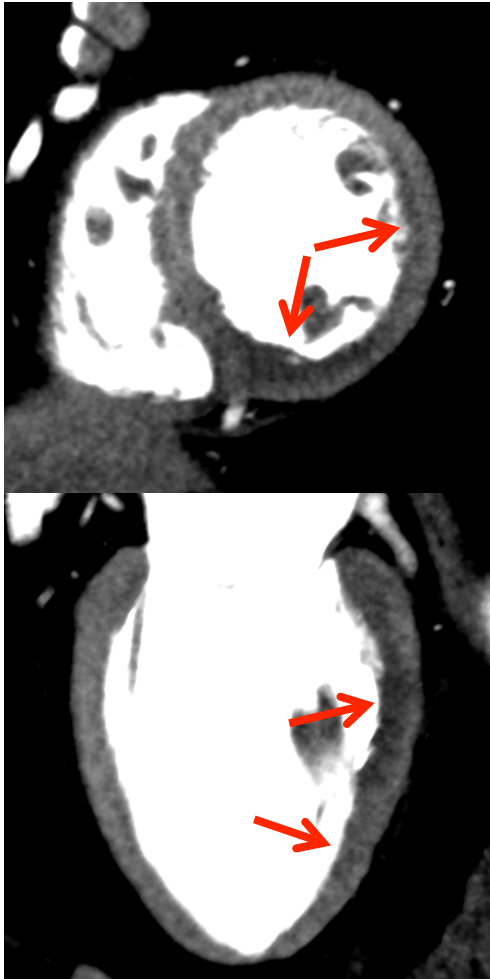


RCA

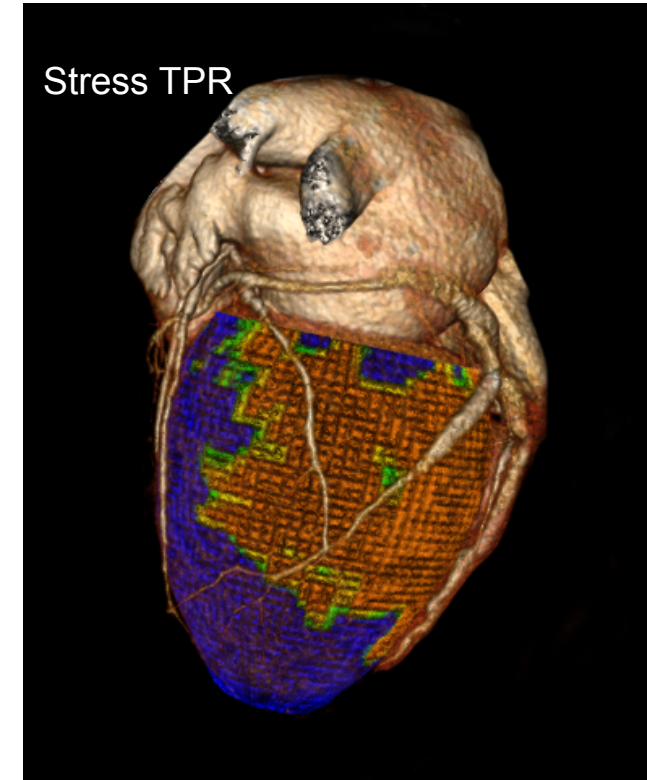


Stenosis in the mid LCx, severe stenosis in the mid RCA

Le scanner Volumique Dynamique



Rotation Speed 0.275s
Dose Reduction AIDR 3D^{integrated} 2,5 mSv
Dose 1.93mSv
(k=0.014)

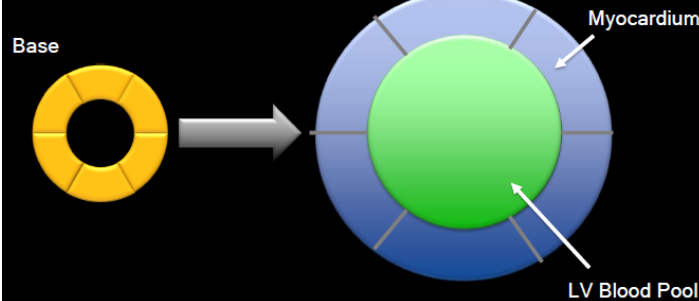


An area of hypo-attenuation is seen in the infero-lateral wall. The Transmural Perfusion Ratio (TPR) map confirms this.

LES MESURES

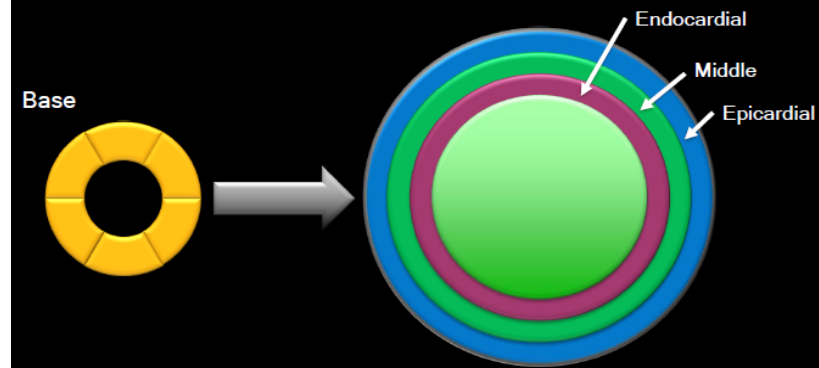
Perfusion Index is calculated for each segment

$$\text{Perfusion Index} = \frac{\text{Mean Myocardial AD}}{\text{Mean LV AD}}$$

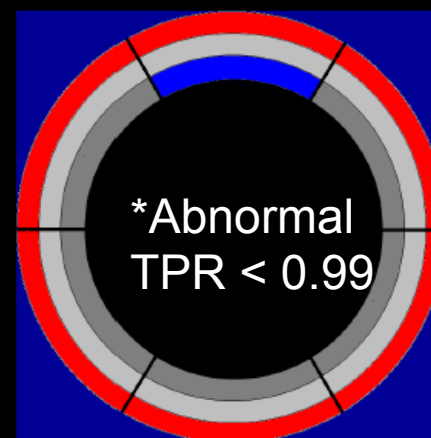
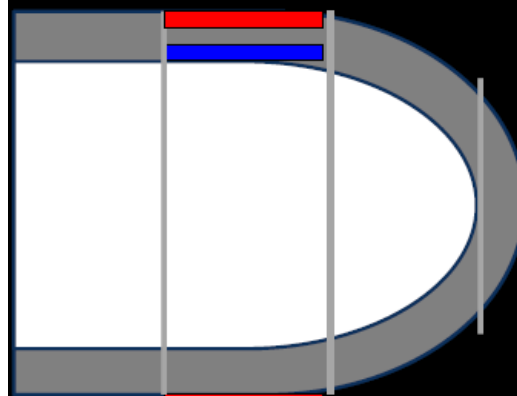


Transmural Perfusion Ratio (TPR)

- Each layer is divided into 3 rings



- TPR is calculated for each segment.



$$TPR = \frac{\text{Subendocardial HU (one segment)}}{\text{Subepicardial HU (entire layer)}}$$

*George RT, et al.
Circ Cardiovasc Imaging. 2009

ANALYSE MORPHOLOGIE



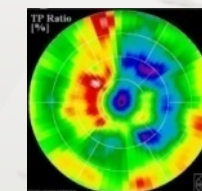
Coronarographie



CT angiographie

InCor

ANALYSE FONCTIONNELLE



Keio
Iwate

Scintigraphie SPECT

St. Luke's

Mie
NHC

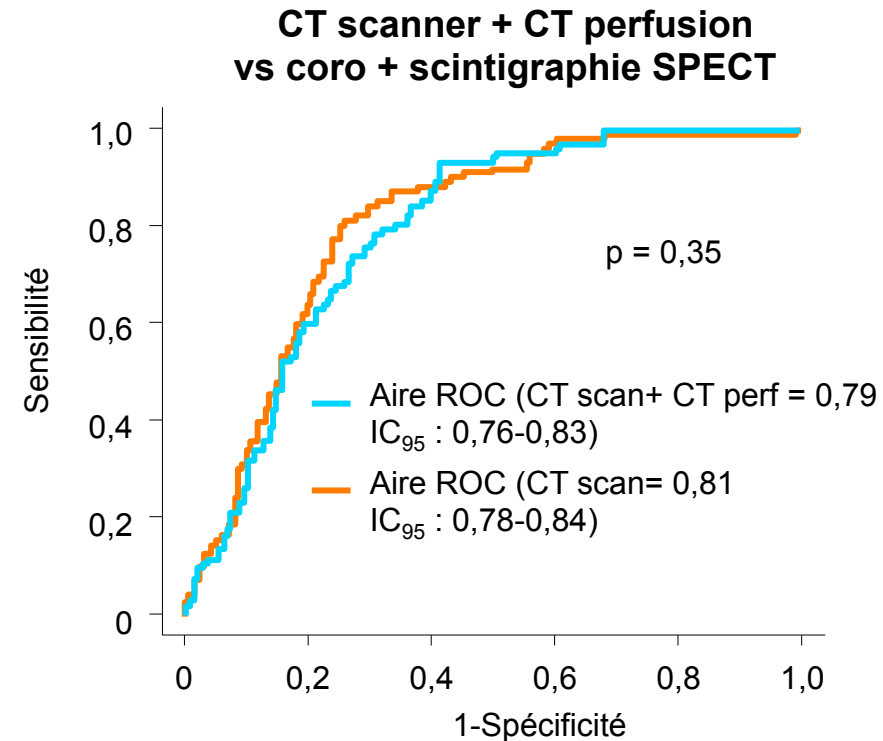
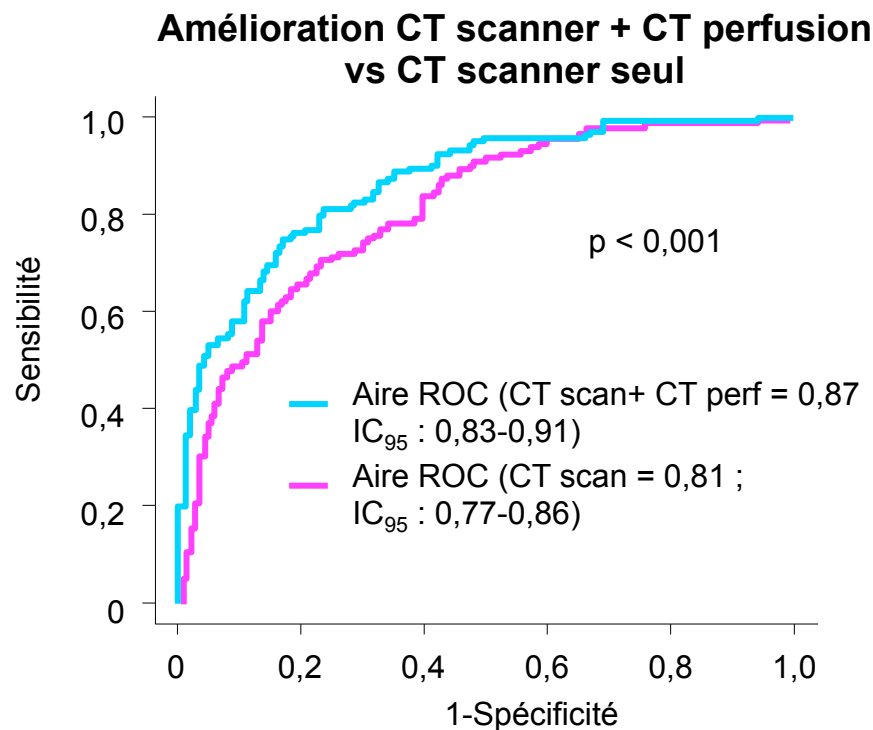
CT perfusion

Etude multicentrique 8 pays 16 Hopitaux 381 patients

- » Evaluation du scanner / coronarographie associée à la scintigraphie
- » Performance diagnostique du scanner 320 barrettes



CORE 320



- Le scanner de perfusion améliore la capacité diagnostique par comparaison avec le scanner seul
- La combinaison scanner / scanner de perfusion identifie les patients nécessitant une revascularisation
- Etude anatomique et viabilité lors d'un même examen avec une dose totale modérée (< 5 mSv)

Le scanner Volumique dynamique



European Heart Journal (2012) 33, 67–77
doi:10.1093/euroheartj/ehr268

CLINICAL RESEARCH
Interventional cardiology

Computed tomography stress myocardial perfusion imaging in patients considered for revascularisation a comparason with fractionnal flow reserve

Brian S. Ko^{1,2}, James D. Cameron^{1,2}, Ian T. Meredith^{1,2}, Michael Leung^{1,2},
Paul R. Antonis^{1,2}, Arthur Nasis^{1,2}, Marcus Crossett^{1,3}, Sarah A. Hope¹,
Sam J. Lehman¹, John Troupis^{1,3}, Tony DeFrance^{4,5}, and Sujith K. Seneviratne^{1,2*}

¹Monash Cardiovascular Research Centre Australia ²Departement of Medicine Monash Medical Centre
³Departement of Diagnostic Imaging MMC ⁴Stanford University USA and ⁵CVCTA Education San Francisco

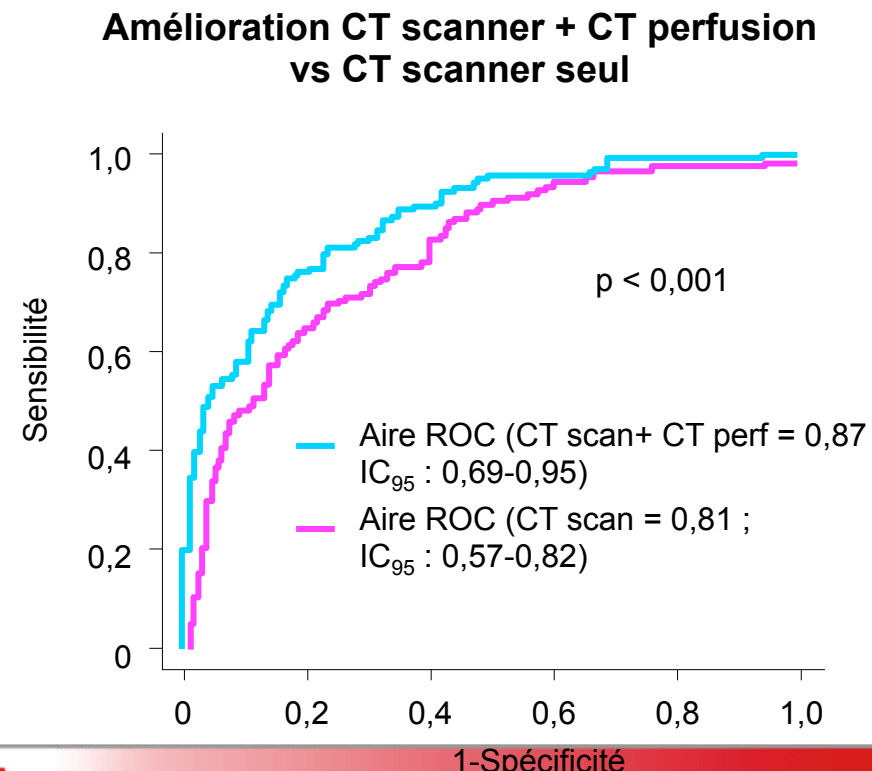
FFR < 0,8 en référence
Identification de 76% des territoires ischémiques
Identification de 84% des territoires non ischémiques

- Défect de perfusion + sténose > 50% spécifique à 98%
- Perfusion normale + lésion < 50% permet d'éliminer une ischémie dans 100% des cas
- Concordance entre les résultats de la FFR et le scanner 320
- Efficacité très élevée quand il y a une concordance entre CTA et CTP pour la mise en évidence ou exclure l'ischémie

CT perfusion salvages non diagnostic CTA for stent assessment

Computed tomography angiography and myocardial computed tomography perfusion in patients with coronary stents: prospective intraindividual comparison with conventional coronary angiography.

Rief M, Zimmermann E, Stenzel F, Martus P, Standl K, Greupner J, Kranz
Department of Radiology, Charité, Berlin, Germany.



JACC

JOURNAL of the AMERICAN COLLEGE of CARDIOLOGY



TOSHIBA
Leading Innovation >>>

ONE
Aquilion™
Soustraction Coronaires

Made for Life

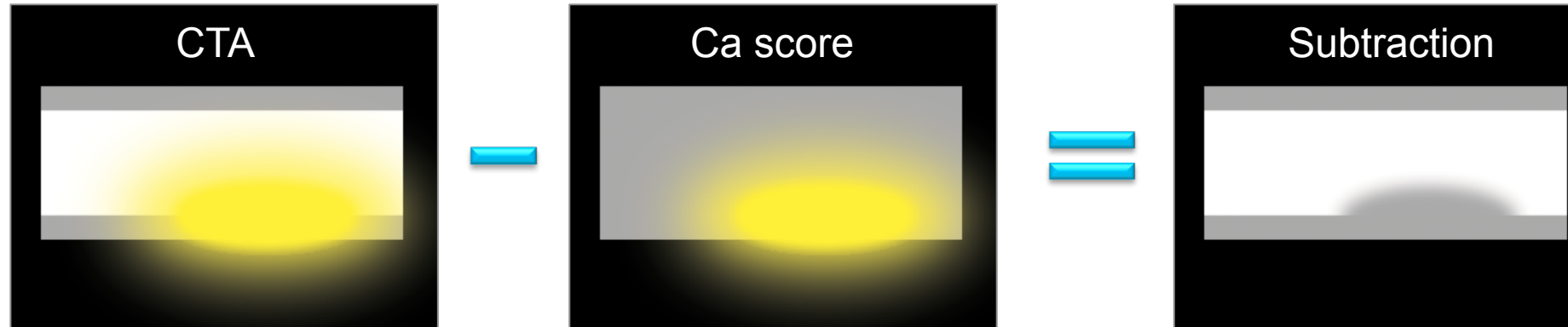
SureSubtraction



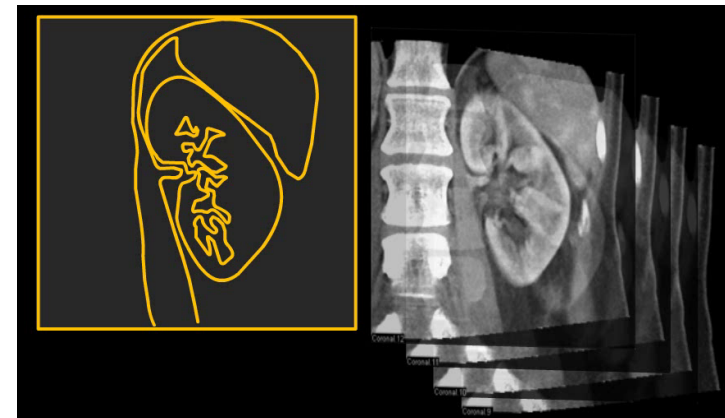
- » ZERO CLICK
- » ZERO ARTEFACTS DE SEGMENTATION



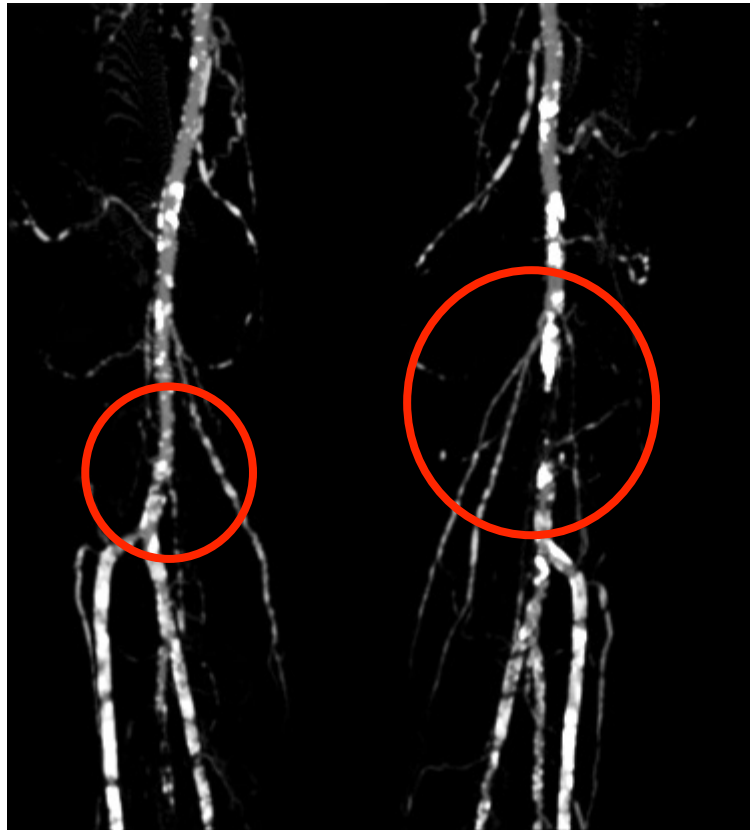
SURE Subtraction



~~RECALAGE
ELASTIQUE~~



SureSubtraction

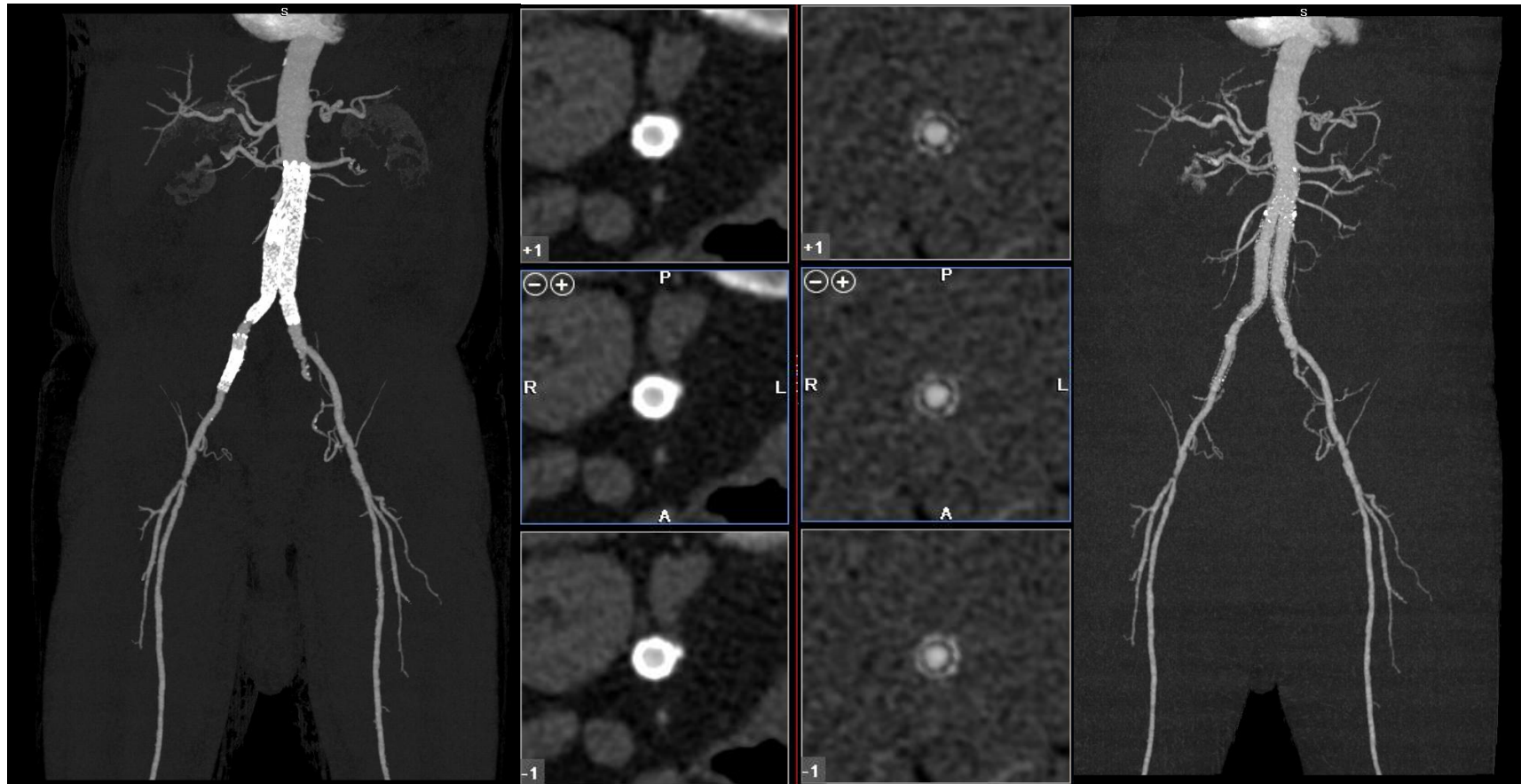


Images Natives



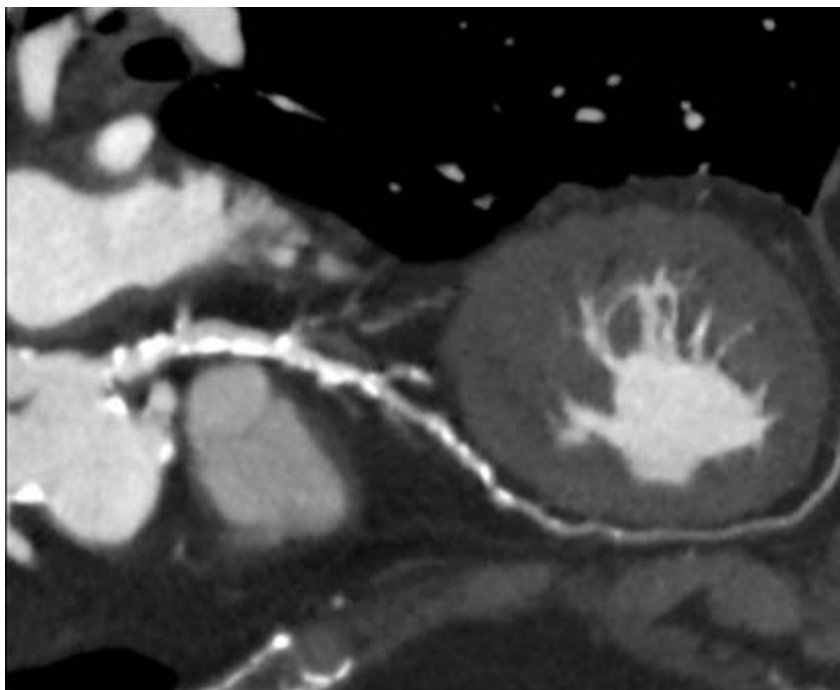
Bone Soustraction

SureSubtraction

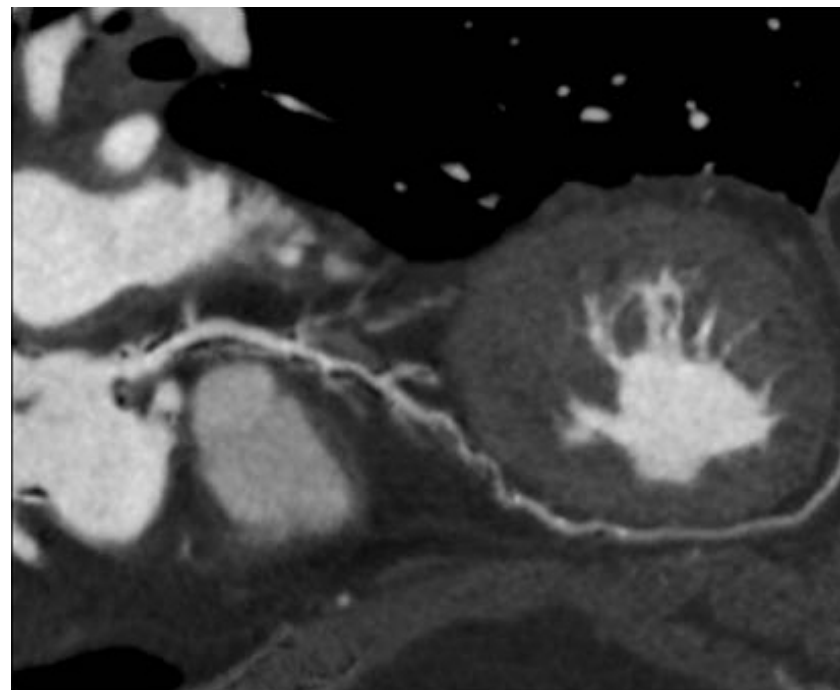


- » Suppression de l'os , du stent et du calcium
- » Suppression des artefact en blooming
- » Meilleure visualisation de la lumière

SureSubtraction - Coronaires



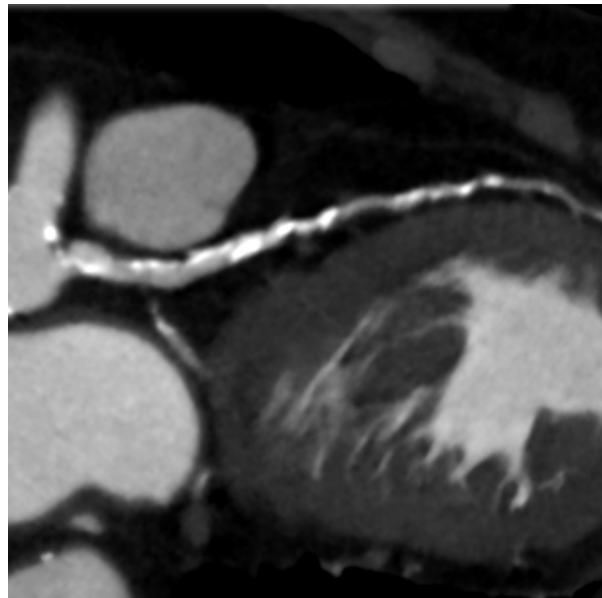
Post Contrast CTA



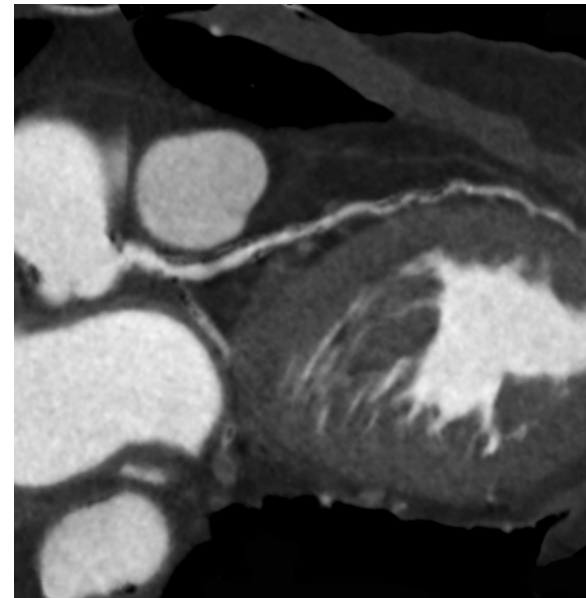
Subtracted

SureSubtraction - Coronaires

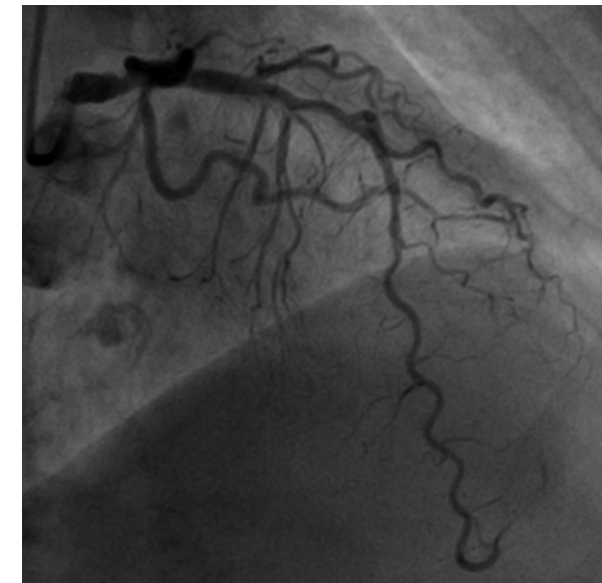
Adaptive Diagnostics
Clinical Solutions



Post Contrast CTA



Subtracted



- » Visualisation de la lumière améliorée grâce au recalage élastique

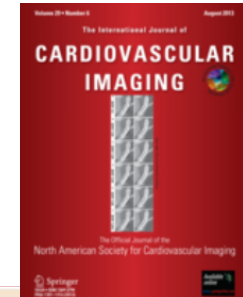
Courtesy Dr Kofoed, Rigshospitalet, Denmark

SureSubtraction - Coronaires

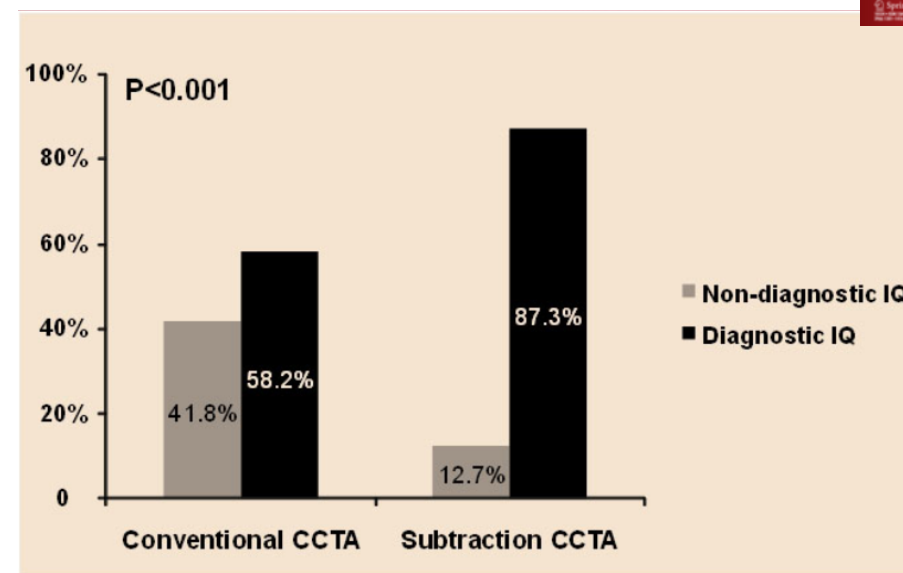
Improved evaluation of calcified segments on coronary CT angiography: a feasibility study of coronary calcium subtraction.

Tanaka R , Yoshioka K , Muranaka K / Klaus Kofoed MD, Andreas Fuchs

Department of Radiology, Iwate Medical University/ Rigshospitalet, Copenhagen, Denmark



20 patients
CS > 400

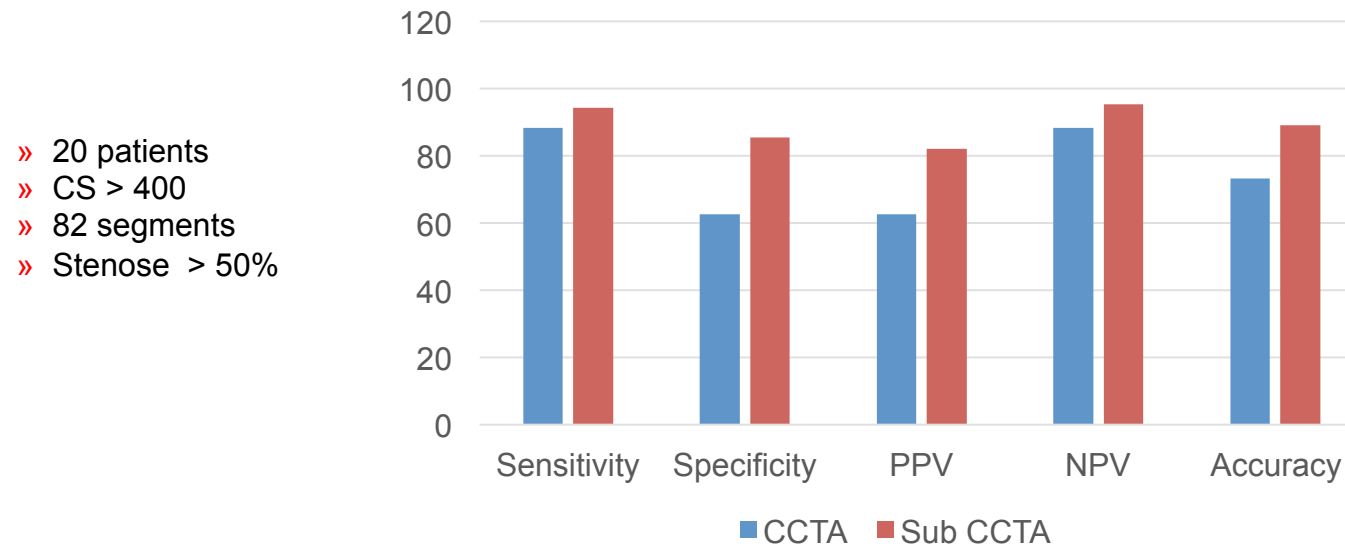
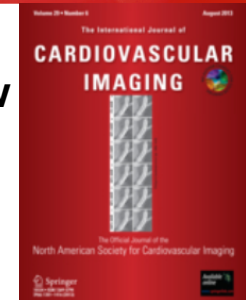


- » Réduction de 41,8 % à 12,7% de segment non diagnostique
- » Augmentation de la précision de 15% de la spécificité de 25%
- » Réduction de 20% des faux positifs

SureSubtraction - Coronaires

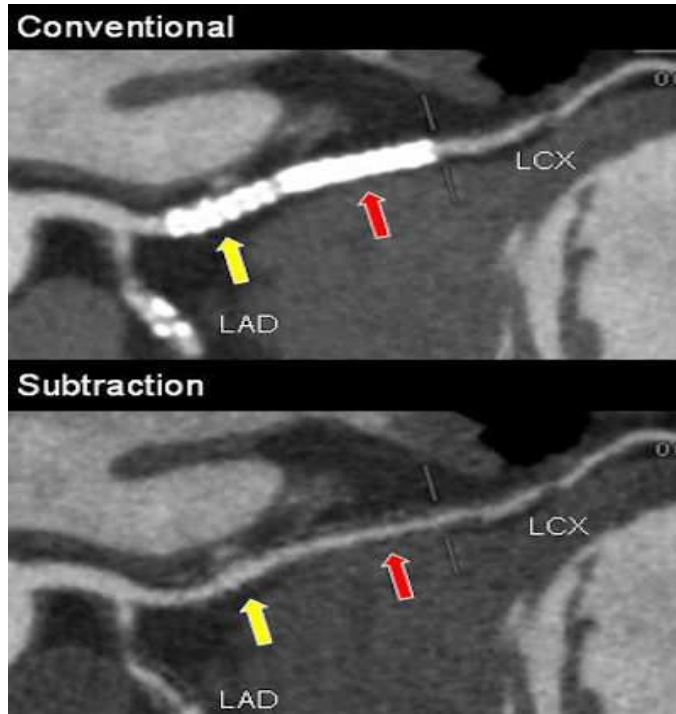
Subtraction coronary CT angiography using second-generation 320-detector row

Kunihiro Yoshioka • Ryoichi Tanaka • Kenta Muranaka • Tadashi Sasaki • Takanori Ueda • Takuya Chiba •
Division of Cardiovascular Radiology, Department of Radiology, Iwate Medical University Japan

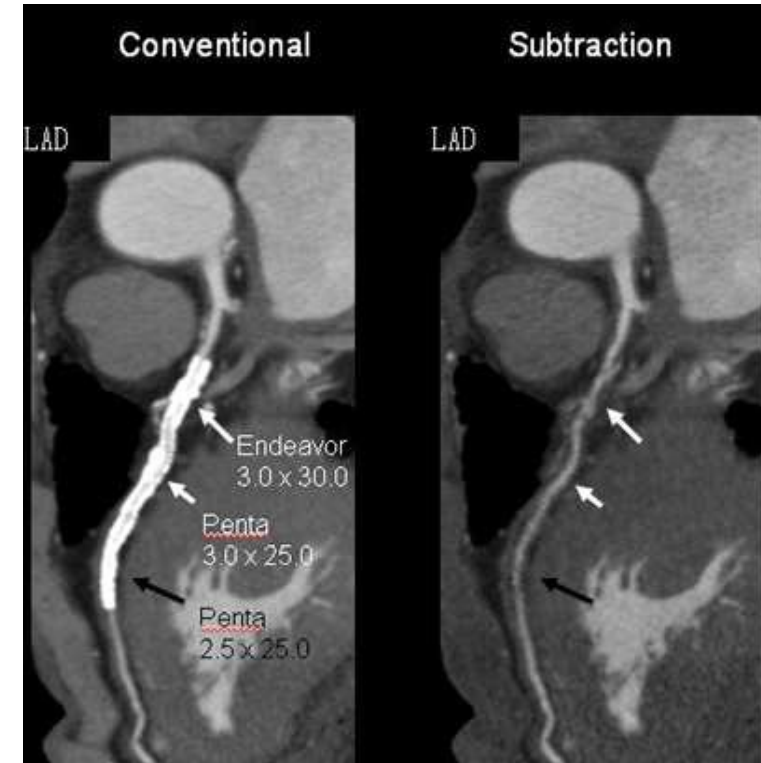
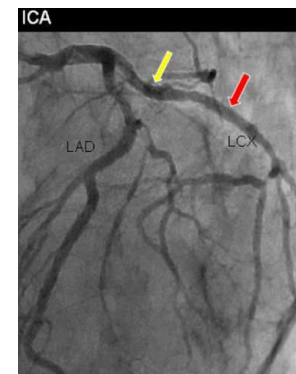


- » Réduction de 43,9 % à 8,5 % de segment non diagnostique
- » Réduction de 20% des faux positifs
- » Dose: 3,2 mSv +/- 1,8

SureSubtraction – Coronaires



- » RSNA 2014
- » 99 Patients
- » Coronarographie



| Précision/Taille | CTA | DSCTA |
|------------------|------|--------------------|
| 3,5 mm | 78 % | 92 % |
| 3 mm | 61 % | 90 % |
| 2,5 mm | 37 % | 88,2 % P=0,0001 |

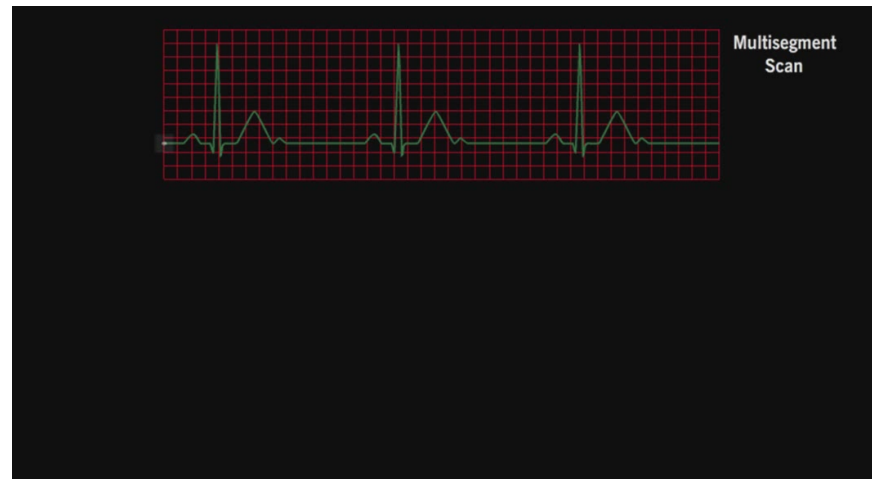
| DSCTA vs. CTA for stent imaging | | | | | |
|---------------------------------|-------------|-------------|-------|-------|----------|
| Exam | Sensitivity | Specificity | PPV | NPV | Accuracy |
| Conventional CTA | 48.6% | 58.5% | 13.9% | 81.9% | 57.3% |
| DSCTA | 62.9% | 91.7% | 66.6% | 94.7% | 88.2% |

Dr Makoto Takase Clinic TAKASAKI JAPAN

Adaptive Motion Correction

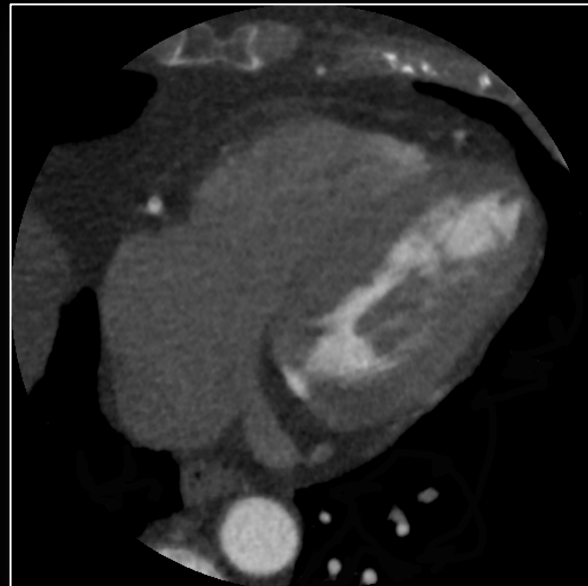
- 46 year old woman
- 90 bpm
- 2 beat scan

| Scan Mode | Collimation | kV | mA | Rotation Speed (s) | Range (mm) | Dose Reduction | CTDI (mGy) | DLP (mGy.cm) | Effective Dose (mSv) |
|-----------|-------------|-----|--------------|--------------------|------------|----------------|------------|--------------|----------------------|
| Volume | 0.5mm x 200 | 100 | SUREExposure | 0.275 | 100 | AIDR 3D | 6.9 | 69.5 | 0.97 (k=0.014) |

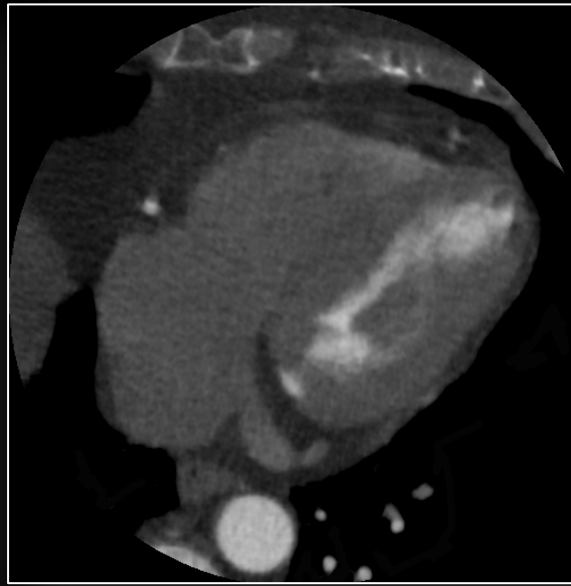


Courtesy Dr Chen, NHLBI, National Institutes of Health, USA 31

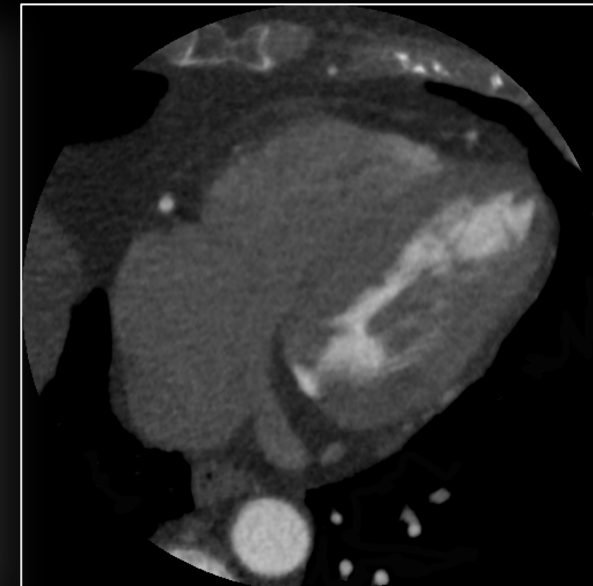
Adaptive Motion Correction



Half Reconstruction
135 ms



Segment Reconstruction
68 ms



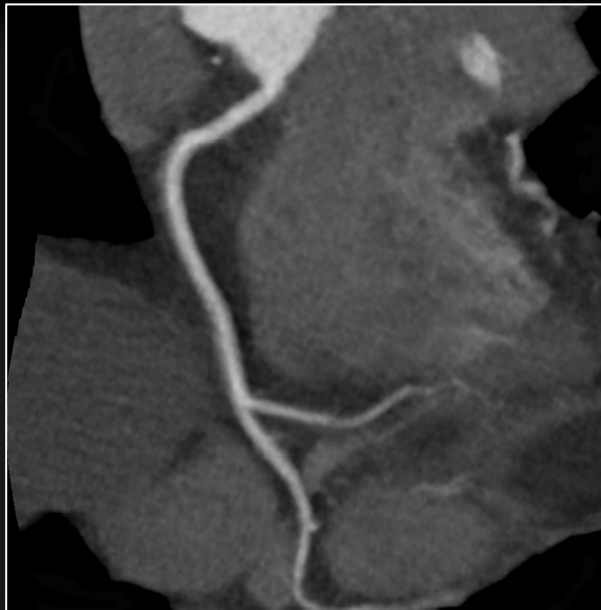
AMC Reconstruction

Courtesy Dr Chen, NHLBI, National Institutes of Health, USA

Adaptive Motion Correction



Half Reconstruction
135 ms



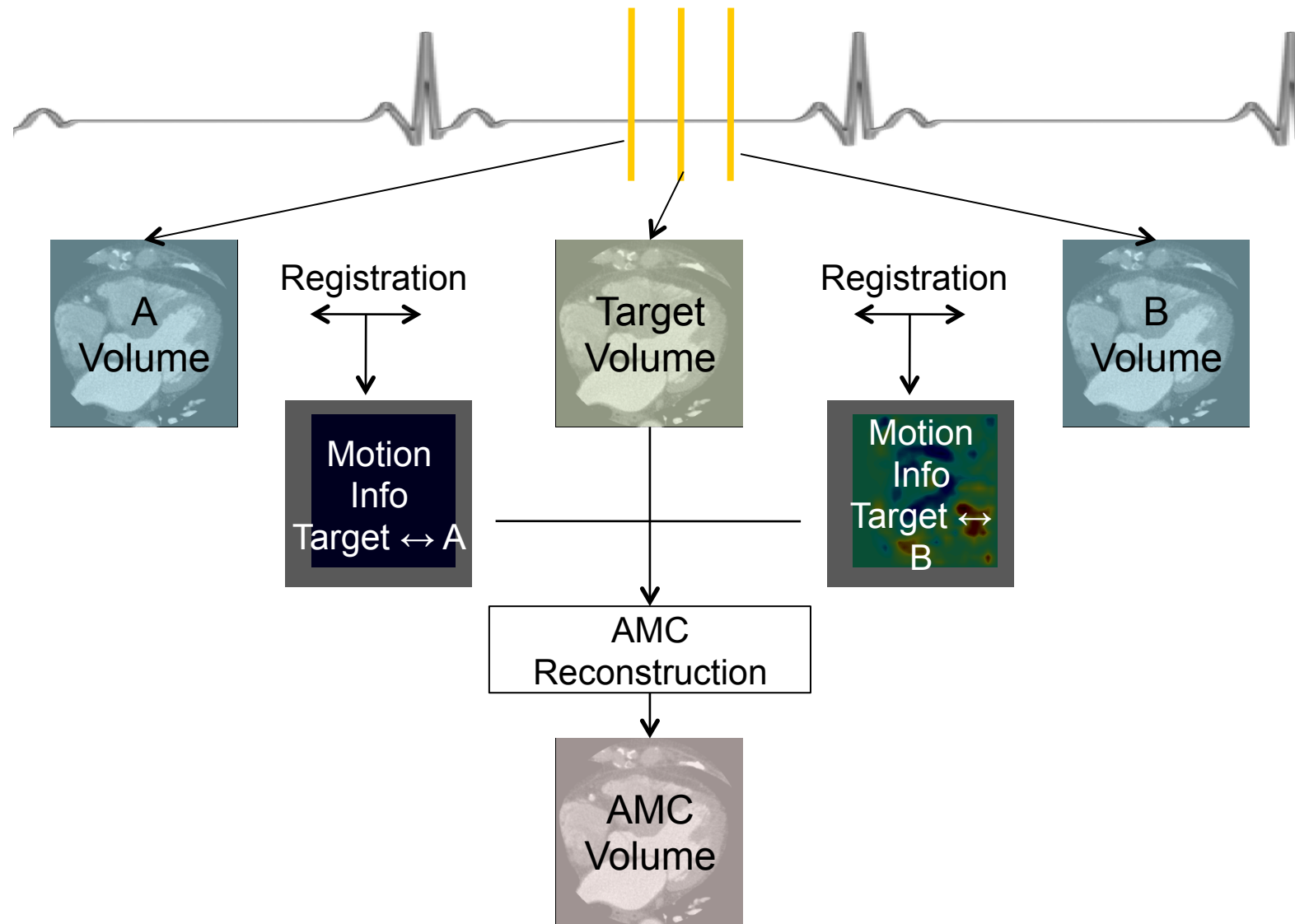
Segment Reconstruction
68 ms



AMC Reconstruction

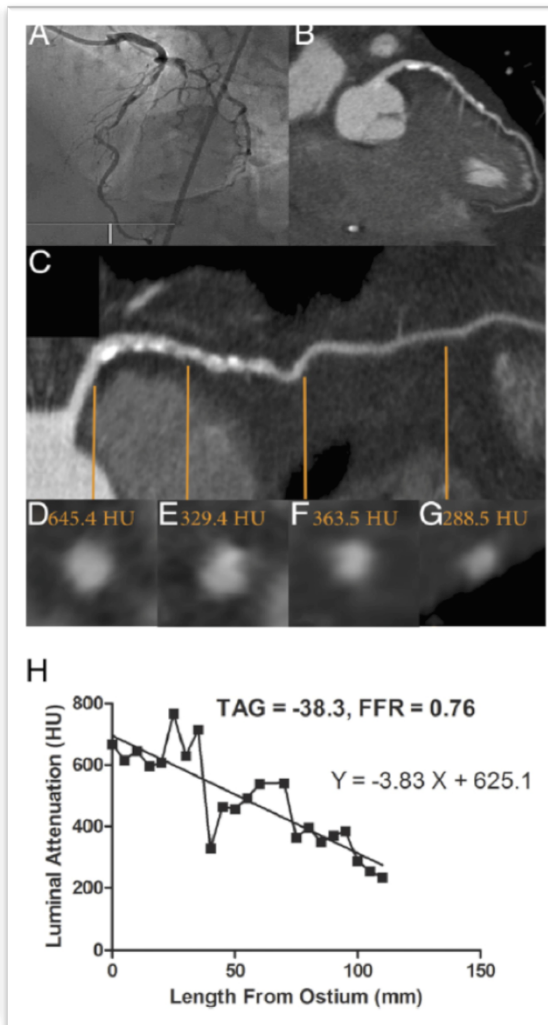
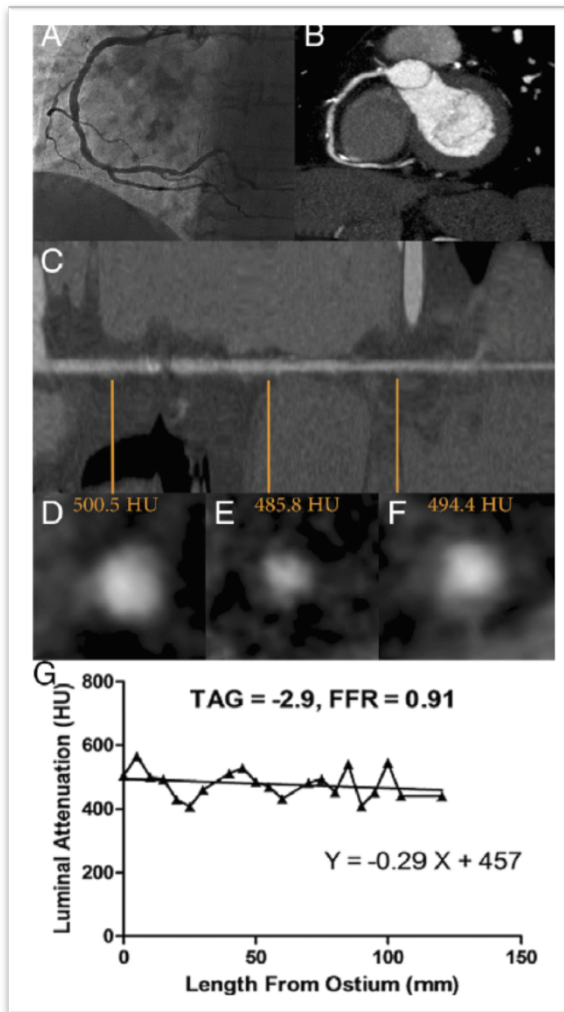
Courtesy Dr Chen, NHLBI, National Institutes of Health, USA

Adaptive Motion Correction



TAG320 : Transluminal Contrast Attenuation Gradient

| Coronarie normale Variation des densités / cm | | |
|---|-------|------|
| LAD | LCX | RCA |
| 11 UH | 12 UH | 5 UH |



- » Contant et reproductible grâce aux acquisitions Iso phasiques
- » Mesure tout les 5 mm jusqu'a 2mm diam
- » Mesure des variations de densités/ostium et de part et d'autre de la sténose
- » Dès 20% de sténose diminution de 50 U

TAG320 : Transluminal Contrast Attenuation Gradient



Transluminal Attenuation Gradient in Coronary Computed Tomography Angiography Is a Novel Noninvasive Approach to the Identification of Functionally Significant Coronary Artery Stenosis A Comparison With Fractional Flow Reserve JACC Vol 61 no12

- » 57 patients 78 coronaires
- » FFR < 0,8
- » Diminution > 15 UH sur 10 mm mesure tout les 5 mm $\phi < 2\text{mm}$

| Sensitivity | Specificity | PPV | NPV |
|-------------|-------------|-----|-----|
| 77% | 74% | 67% | 86% |

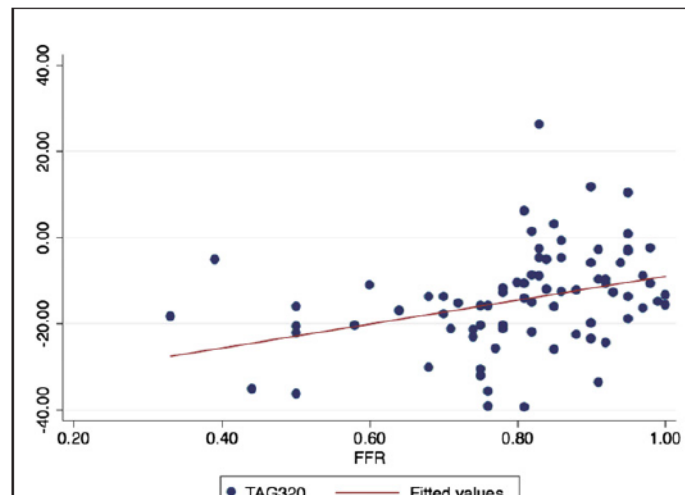


Figure 3 Scatter Plot Showing the Relationship Between TAG320 and FFR

The correlation coefficient between TAG320 and FFR was 0.43 ($p < 0.001$).
FFR = fractional flow reserve; TAG = transluminal attenuation gradient.

TAG320 : Transluminal Contrast Attenuation Gradient

Comparison of Diagnostic Accuracy of Combined Assessment Using Adenosine Stress Computed Tomography Perfusion + Computed Tomography Angiography With Transluminal Attenuation Gradient + Computed Tomography Angiography Against Invasive Fractional Flow Reserve

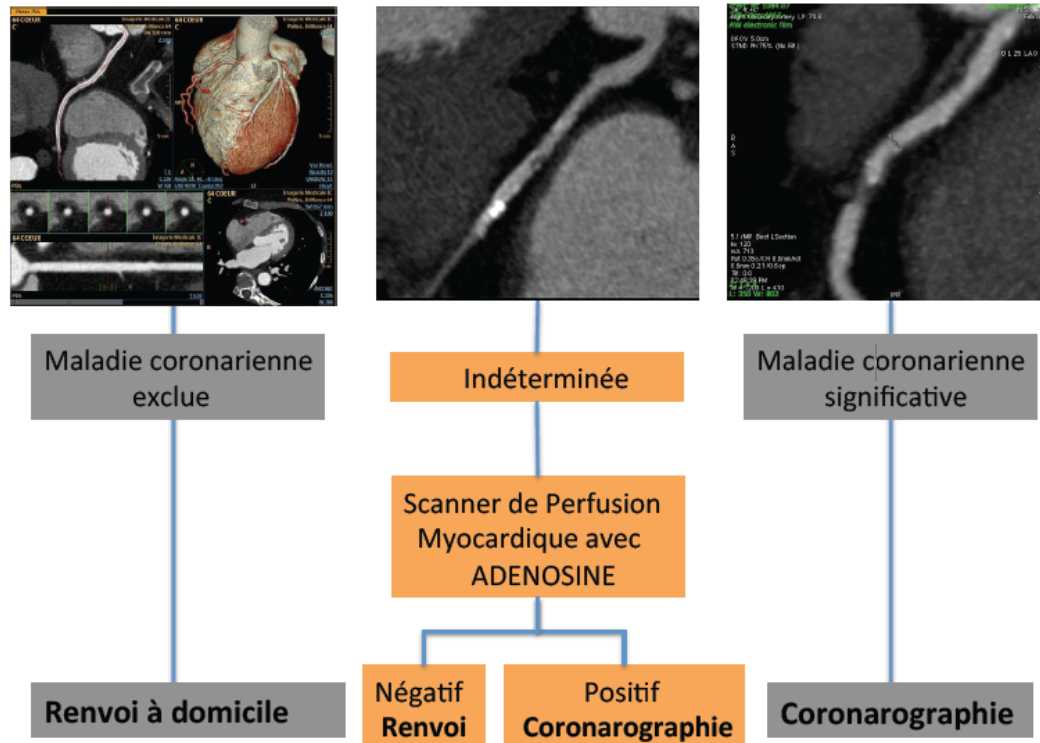
J Am Coll Cardiol. 2014;63(18):1904-1912. doi:10.1016/j.jacc.2014.02.557

- » 75 patients 127 coronaires
- » FFR < 0,8
- » Diminution > 15 UH sur 10 mm mesure tout les 5 mm ø < 2mm

| Tableau 2 | | Estimations des précisions diagnostiques par vaisseau de la CC, du scanner coronaire (SC), des combinaisons SC+SPM, SC+GAT et SC+SPM+GAT, comparées à la RDF | | | | | |
|----------------|----|--|--------|-------|--------|--------|------------|
| | | CC>50% | CC>70% | SC | SC+GAT | SC+SPM | SC+SPM+GAT |
| | | n=127 | n=127 | n=127 | n=97 | n=123 | n=117 |
| Sensibilité, % | 61 | 25 | 89 | 73 | 76 | 76 | 88 |
| Spécificité, % | 88 | 99 | 65 | 97 | 89 | 89 | 83 |
| VPP, % | 73 | 92 | 57 | 92 | 78 | 78 | 74 |
| VPN, % | 81 | 71 | 92 | 87 | 88 | 88 | 93 |

| | CTA + TAG320 | CTA + TCP | CTA+CTP +TAG320 |
|------------------|--------------|-----------|-----------------|
| Area Under Curve | 0,844 | 0,845 | 0,91 |

Prise en charge



Caractérisation de la plaque WIP

- » Amélioration de la résolution en contraste (bi – energie..)
- » Meilleure résolution spatiale



Plus de 120 Publications

TOSHIBA

Leading Innovation >>>

